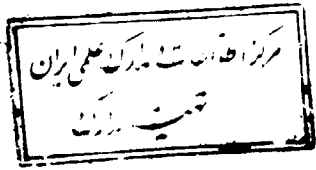


٣٤١٠١

۱۳۸۰ / ۱۱ / ۲۰



وزارت فرهنگ و آموزش عالی
دانشگاه علوم و فنون مازندران

پایان نامه

قطع کارشناسی ارشد

۱۱۶۴۷

رشته: عمران - سازه

بررسی اثرات نامنظمی سختی و جرم در ارتفاع

استاد راهنمای: دکتر محمد تقی کاظمی

استاد مشاور: دکتر مرتضی حسینعلی بیگی

نگارش: علیرضا پاکزاده

۱۳۷۹ ۳۴۰۱

تقدیم به پدرو مادر بزرگوارم

تقدیم به همسر مهربانم

تشکر و قدردانی:

بر خود لازم میدانم از استاد بزرگوار، جناب
آقای دکتر محمد تقی کاظمی که همواره
راهنما بی ایشان راه گشای این جانب بوده کمال
تشکر را داشته باشم. همچنین از زحمات
جناب آقای دکتر مرتضی حسینعلی بیگی
سپاس گذارم.

چکیده:

از دیدگاه مهندسی سازه، محل قرارگیری اجزاء سازه‌ای و نحوه توزیع جرم در ساختمان پیکربندی هر ساختمان را تشکیل می‌دهد. پیکربندی هر ساختمان تعیین کننده نحوه توزیع و گسترش نیروهای زلزله و بازتابهای دینامیکی آن می‌باشد.

در سازه‌های نامنظم در ارتفاع، نامنظمی از نظر جرم یا سختی می‌تواند باشد می‌افتد. با توجه به گستردنگی کاربردهای ساختمان، نامنظمی در هر نقطه‌ای از ساختمان ممکن است واقع شود و هیچ پارامتر کلی برای تعیین نامنظمی نمی‌توان متصور شد و حتی در ساختمانی که از نظر شکل ظاهری کاملاً منظم به نظر می‌رسد امکان وجود نامنظمی می‌باشد.

بنابر توصیه آیین نامه ۲۸۰۰ ایران (ویرایش جدید) و اکثر آیین نامه‌های معتبر دنیا نیروهای لرزه‌ای ساختمانهای نامنظم در ارتفاع می‌بایستی از تحلیل دینامیکی محاسبه گردد. در این تحقیق مدل‌های ۱۵ طبقه ساده‌ای که نامنظمی جرم و سختی در نقاط مختلف آن ایجاد شده مورد مطالعه قرار گرفته است. با توجه به حدود تعیین شده توسط آیین نامه ۲۸۰۰ ایران برای سازه‌های منظم و نامنظم، آنالیز دینامیکی و استاتیکی بر روی هر یک از مدل‌های انجام گرفته و بازتابهای دینامیکی و نیروهای سازه با هم مقایسه شده است، تا با بررسی نتایج بدست آمده تأثیر نامنظمی بر رفتار لرزه‌ای سازه مورد ارزیابی قرار گیرد.

Vertical stiffness and mass irregularities

Abstract

Special consideration is required for design of irregular structures, which are located in areas with high seismicity and whose failure would cause significant hazard to the public. Structures with mass or stiffness irregularities are investigated in this study. Seismic behavior of structures with irregularity in mass and stiffness is studied by means of sample fifteen story frames. The effects of size and location of irregularity are investigated on periods, base shear and lateral force distribution. Both shear wall systems and bending frames are examined.

Iranian code of practice for seismic resistant design of buildings is used for design of sample structures. Results show that vertical stiffness and mass irregularities could have limited effects on design and in the most cases static force procedure may be used.

فهرست رئوس مطالب

عنوان	صفحة
فصل اول: گروه بندی ساختمان	
۱-۱- گروه بندی ساختمان	۵
۱-۲- نا منظمی به تصویر آین نامه های مختلف	۱۵
۱-۳- فرم های سازه ای	۲۳
فصل دوم: بررسی نامنظمی های جرم و سختی در ارتفاع سازه	
۲-۱- مروری بر کارهای گذشته	۴۴
۲-۲- مدل سازی	۴۶
۲-۳- فرضیات و مشخصات سازه ای	۴۶
۲-۴- روش بررسی تأثیرات نامنظمی در سازه	۴۹
۲-۵- جزئیات روش تحلیل و بدست آوردن نتایج عددی	۵۰
۲-۶- بررسی موردی نامنظمی های جرم و سختی در ارتفاع سازه	۵۲
فصل سوم: بررسی اثرات نامنظمی جرم در ارتفاع	
۳-۱- بارگذاری استاتیکی معادل مدل های نامنظم جرم	۵۵
۳-۲- آنالیز مдал	۵۶
۳-۳- اثرات نامنظمی در زمان تناوب مداول و دوم (مد خمی قاب مهاربندی شده)	۵۷
۳-۴- بررسی درصد جرم مدي در اثر تغییرات نامنظمی جرم (قاب مهاربند)	۶۰
۳-۵- آنالیز دینامیکی طیفی	۶۳
۳-۶- بررسی تغییرات برش پایه دینامیکی (قاب مهاربندی)	۶۴
۳-۷- تغییرات توزیع نیروی جانبی زلزله (قاب مهاربندی شده)	۶۶
۳-۸- تغییرات برش طبقات (قاب مهاربندی)	۸۲
۳-۹- اثرات نامنظمی جرم بر روی تغییر شکل جانبی (قاب مهاربندی)	۸۹
۳-۱۰- اثرات نامنظمی جرم بر پریود مدار اول و دوم سازه برشی (قاب خمی)	۹۵
۳-۱۱- اثرات نامنظمی جرم بر روی درصد مشارکت جرم مدي (قاب خمی)	۹۷
۳-۱۲- اثرات نامنظمی جرم بر روی برش پایه دینامیکی (قاب خمی)	۱۰۰
۳-۱۳- اثرات تغییر جرم بر روی توزیع نیروی طبقات (قاب خمی)	۱۰۱

فهرست رئوس مطالب

عنوان	صفحة
۱۴-۳- اثرات تغییرات جرم بر روی برش طبقات (قاب خمثی).....	۱۰۵
۱۵-۳- اثرات نامنظمی جرم بر روی تغییر شکل جانبی (قاب خمثی).....	۱۱۱
فصل چهارم: بررسی اثرات تغییر سختی در ارتفاع	
۱-۴- آنالیز مдал	۱۱۷
۲-۴- بررسی تغییرات زمان تناوب بر اثر نامنظمی سختی در ارتفاع (مهاربندی)	۱۱۸
۳-۴- بررسی تغییرات درصد جرم مدي (قاب مهاربندی).....	۱۲۱
۴-۴- آنالیز دینامیکی طبقی.....	۱۲۴
۴-۵- بررسی تغییرات برش پایه دینامیکی طیفی بر اثر نامنظمی سختی (قاب مهاربندی).....	۱۲۴
۴-۶- اثرات کاهش سختی در توزیع نیروی زلزله (قاب مهاربندی)	۱۲۵
۴-۷- تغییرات برش طبقات در اثر کاهش سختی (قاب مهاربندی)	۱۳۳
۴-۸- اثرات نامنظمی سختی بر روی تغییر سختی در ارتفاع سازه(قاب خمثی) ..	۱۳۹ ..
۴-۹- بررسی اثرات نامنظمی تغییر سختی در ارتفاع سازه (قاب خمثی).....	۱۴۵
۴-۱۰- بررسی اثرات تغییر سختی بر روی زمان تناوب سازه (قاب خمثی).....	۱۴۵
۴-۱۱- اثرات تغییر سختی بر روی درصد جرم مدي سازه(قاب خمثی)	۱۴۸
۴-۱۲- بررسی اثرات تغییر سختی بر روی برش پایه دینامیکی (قاب خمثی)....	۱۵۱
۴-۱۳- اثرات نامنظمی سختی بر روی نیروی زلزله (قاب خمثی).....	۱۵۳
۴-۱۴- اثرات کاهش سختی بر روی تغییرات برش طبقات (قاب خمثی).....	۱۶۰
۴-۱۵- بررسی اثرات نامنظمی سختی بر روی جابجایی سازه(قاب خمثی).....	۱۶۵
فصل پنجم: نتیجه گیری	
۱-۵- نتایج تحقیق	۱۷۴
۲-۵- پیشنهادات ادامه راه	۱۷۶
فهرست منابع و مأخذ	۱۷۷

فهرست اشکال

عنوان		صفحه
فصل اول		
شکل ۱-۱- پیکربندی‌های بینه برای مقاومت در برابر زلزله	۷	
شکل ۲-۱- نمایش ترسیمی سازه‌ها با دستگاه‌های قالب‌بندی نامنظم	۱۰	
شکل ۳-۱- تعاریف پیکربندی مشکل ساز که به کمک تجدید نظرهای اعمال شده آیین نامه ساختمانی یکنواخت تهیه شده‌اند.....	۱۱	
شکل ۴-۱- انواع مهاربندی‌ها.....	۲۵	
شکل ۵-۱- قالب میان پر.....	۲۷	
شکل ۶-۱- تاو تخت دوپزرفه.....	۲۸	
شکل ۷-۱- ساختار دیوار برشی کوپل	۲۹	
شکل ۸-۱- ساختار قاب دیوار.....	۳۱	
شکل ۹-۱- قاب محیطی	۳۲	
شکل ۱۰-۱- ساختار هسته و پوسته	۳۳	
شکل ۱۱-۱- قاب محیطی دسته شده	۳۵	
شکل ۱۲-۱- سازه‌ها با مهار بازوئی و تحت اثر بار جانی	۳۶	
شکل ۱۳-۱- سازه معلق	۳۷	
شکل ۱۴-۱- سازه معلق دو طره‌ای	۳۸	
شکل ۱۵-۱- سازه هسته‌ای	۳۹	
شکل ۱۶-۱- اجرای سازه فضایی	۴۰	
فصل سوم		
شکل (۳-۱-الف) تغییرات زمان تناوب مد اول سازه‌مهاربندی در نامنظمی جرم ...	۵۹	
شکل (۳-۱-ب) تغییرات زمان تناوب مد دوم سازه‌مهاربندی در نامنظمی جرم ...	۵۹	
شکل (۳-۲-الف) تغییرات درصد جرم مدی مداول سازه مهاربندی در نامنظمی جرم ...	۶۲	
شکل (۳-۲-ب) تغییرات درصد جرم مدی مددوم سازه مهاربندی در نامنظمی جرم ...	۶۲	
شکل (۳-۳-الف) مقایسه توزیع دینامیکی سازه مهاربندی در نامنظمی جرم	۶۵	
شکل (۳-۴-الف) مقایسه توزیع دینامیکی نیروی طبقات مدهای نامنظم با مدل دینامیکی منظم (افزایش جرم (%۵۰)).....	۷۱	
شکل (۳-۴-ب) مقایسه توزیع دینامیکی نیروی طبقات مدهای نامنظم با مدل دینامیکی منظم (افزایش جرم (%۱۰۰)).....	۷۱	

فهرست اشکال

عنوان		صفحه
شکل (۴-۳-ج) مقایسه توزیع نیروی دینامیکی نیروی طبقات مدهای نامنظم با مدل دینامیکی منظم (افزایش جرم٪.۲۰۰)	۷۲	
شکل (۵-۳) توزیع نیروی دینامیکی و نیروی استاتیکی برای سازه منظم بدون افزایش جرم (مهاربندی)	۷۵	
شکل (۶-۳-الف) مقایسه توزیع نیروی دینامیکی و استاتیکی سازه مهاربندی نامنظم (افزایش جرم٪.۵۰ در طبقه ۵)	۷۸	
شکل (۶-۳-ب) مقایسه توزیع نیروی دینامیکی و استاتیکی سازه مهاربندی نامنظم (افزایش جرم٪.۵۰ در طبقه ۷)	۷۸	
شکل (۶-۳-ج) مقایسه توزیع نیروی دینامیکی و استاتیکی سازه مهاربندی نامنظم (افزایش جرم٪.۵۰ در طبقه ۱۰)	۷۹	
شکل (۶-۳-ح) مقایسه توزیع نیروی دینامیکی و استاتیکی سازه مهاربندی نامنظم (افزایش جرم٪.۵۰ در طبقه ۱۵)	۷۹	
شکل (۷-۳-الف) مقایسه توزیع نیروی دینامیکی و استاتیکی سازه مهاربندی نامنظم (افزایش جرم٪.۲۰۰ در طبقه ۵)	۸۰	
شکل (۷-۳-ب) مقایسه توزیع نیروی دینامیکی و استاتیکی سازه مهاربندی نامنظم (افزایش جرم٪.۲۰۰ در طبقه ۷)	۸۰	
شکل (۷-۳-ج) مقایسه توزیع نیروی دینامیکی و استاتیکی سازه مهاربندی نامنظم (افزایش جرم٪.۲۰۰ در طبقه ۱۰)	۸۱	
شکل (۷-۳-ح) مقایسه توزیع نیروی دینامیکی و استاتیکی سازه مهاربندی نامنظم (افزایش جرم٪.۲۰۰ در طبقه ۱۵)	۸۱	
شکل (۸-۳) تغییرات توزیع نیرو سازه بدون افزایش جرم	۸۷	
شکل (۱۰-۳-الف) مقایسه توزیع برش دینامیکی و استاتیکی در سازه نامنظم مهاربندی (افزایش جرم٪.۵۰)	۸۷	
شکل (۱۰-۳-ب) مقایسه توزیع برش دینامیکی و استاتیکی در سازه نامنظم مهاربندی (افزایش جرم٪.۱۰۰)	۸۸	
شکل (۱۰-۳-ج) مقایسه توزیع برش دینامیکی و استاتیکی در سازه نامنظم مهاربندی (افزایش جرم٪.۲۰۰)	۸۸	

فهرست اشکال

عنوان	صفحه
شکل (۱۱-۳) ماكزيمم رانش نسبی طبقات در حالت تحليل استاتيکي سازه مهاريندي.....	۹۴.....
شکل (۱۲-۳) ماكزيمم رانش نسبی طبقات در حالت تحليل ديناميکي طيفي سازه مهاريندي.....	۹۴.....
شکل (۱۳-۳-الف) تغييرات زمان تناوب مد اول سازه قاب خمشي در نامنظمي جرم.....	۹۶.....
شکل (۱۳-۳-ب) تغييرات زمان تناوب مد دوم سازه قاب خمشي در نامنظمي جرم.....	۹۷.....
شکل (۱۴-۳-الف) تغييرات درصد جرم مدي مد اول سازه قاب خمشي در نامنظمي جرم	۹۹.....
شکل (۱۴-۳-ب) تغييرات درصد جرم مدي مد دوم سازه قاب خمشي در نامنظمي جرم	۹۹.....
شکل (۱۵-۳-الف) تغييرات برش پایه ديناميکي بر اثر تغيير جرم در سازه قاب خمشي	۱۰۰.....
شکل (۱۶-۳-الف) مقايسه توزيع نيروي ديناميکي نامنظم با استاتيکي منظم قاب خمشي (افزايش، جرم (%.۵۰)).....	۱۰۴.....
شکل (۱۶-۳-ب) مقايسه توزيع نيروي ديناميکي نامنظم با استاتيکي منظم قاب خمشي (افزايش، جرم (%.۱۰۰)).....	۱۰۴.....
شکل (۱۶-۳-ج) مقايسه توزيع نيروي ديناميکي نامنظم با استاتيکي منظم قاب خمشي (افزايش، جرم (%.۲۰۰)).....	۱۰۵.....
شکل (۱۷-۳-الف) مقايسه برش ديناميکي سازه هاي نا منظم با برش استاتيکي منظم قاب خمشي (افزايش جرم (%.۵۰)).....	۱۰۶.....
شکل (۱۷-۳-ب) مقايسه برش ديناميکي سازه هاي نا منظم با برش استاتيکي منظم قاب خمشي (افزايش جرم (%.۱۰۰)).....	۱۰۷.....
شکل (۱۷-۳-ج) مقايسه برش ديناميکي سازه هاي نا منظم با برش استاتيکي منظم قاب خمشي (افزايش جرم (%.۲۰۰)).....	۱۰۷.....
شکل (۱۸-۳) مقايسه برش طبقه سازه منظم ديناميکي و استاتيکي (قاب خمشي) .	۱۰۸.....
شکل (۱۹-۳) حداکثر بجايجايی ايجاد شده در اثر افزايش جرم	۱۱۴.....

فهرست اشکال

عنوان	
صفحه	
	فصل چهارم
شکل (۱-۴-الف) تغییر زمان تناوب مد اول سازه مهاربندی در نامنظمی سختی ..	۱۲۰
شکل (۱-۴-ب) تغییر زمان تناوب مددوم سازه مهاربندی در نامنظمی سختی ..	۱۲۰
شکل (۲-۴-الف) تغییر درصد جرم مدی مد اول سازه مهاربندی شده در نامنظمی سختی ..	۱۲۳
شکل (۲-۴-ب) تغییر درصد جرم مدی مد اول سازه مهاربندی شده در نامنظمی سختی ..	۱۲۳
شکل (۳-۴) تغییرات برش پایه دینامیکی طیفی سازه مهابندی شده در نامنظمی سختی ..	۱۲۶
شکل (۴-۴-الف) مقایسه توزیع استاتیکی مدل منظم و توزیع دینامیکی مدل نامنظم کاهش سختی (%) ..	۱۳۰
شکل (۴-۴-ب) مقایسه توزیع استاتیکی مدل منظم و توزیع دینامیکی مدل نامنظم کاهش سختی (%) ..	۱۳۱
شکل (۵-۴-الف) مقایسه توزیع نیروی دینامیکی سازه منظم و سازه نامنظم کاهش سختی طبقه ۱ ..	۱۳۱
شکل (۵-۴-ب) مقایسه توزیع نیروی دینامیکی سازه منظم و سازه نامنظم کاهش سختی طبقه ۸ ..	۱۳۲
شکل (۵-۴-ج) مقایسه توزیع نیروی دینامیکی سازه منظم و سازه نامنظم کاهش سختی طبقه ۱۵ ..	۱۳۲
شکل (۶-۴) مقایسه توزیع نیروهای دینامیکی مدل‌های غیر منظم و توزیع استاتیکی منظم سازه مهاربندی ..	۱۳۸
شکل (۷-۴-الف) مقایسه برش استاتیکی مدل منظم و برش دینامیکی مدل نامنظم مهاربندی (کاهش سختی (%)) ..	۱۳۸
شکل (۷-۴-ب) مقایسه برش استاتیکی مدل منظم و برش دینامیکی مدل نامنظم مهاربندی (کاهش سختی (%)) ..	۱۳۸
شکل (۸-۴-الف) حداکثرانش نسبی دینامیکی در مدل نامنظم سختی مهاربندی شده ..	۱۴۴

فهرست اشکال

عنوان

صفحه

شكل (۸-۴-ب) حداکثر رانش نسبی استاتیکی در مدل نامنظم سختی مهاریندی شده ۱۴۴	
شكل (۹-۴-الف) تغییر زمان تناوب مد اول سازه قاب خمثی در نامنظمی سختی ۱۴۷	
شكل (۹-۴-ب) تغییر زمان تناوب مد دوم سازه قاب خمثی در نامنظمی سختی ۱۴۸	
شكل (۱۰-۴-الف) تغییر درصد جرم مدلی مداول در نامنظمی سختی سازه قاب خمثی ۱۵۰	
شكل (۱۰-۴-ب) تغییر درصد جرم مدلی مداول در نامنظمی سختی سازه قاب الخمثی ۱۵۰	
شكل (۱۱-۴) تغییرات برش پایه دینامیکی ۱۵۲	
شكل (۱۲-۴-الف) مقایسه توزیع نیروی دینامیکی سازه نامنظم با نیروی استاتیکی سازه قاب خمثی (کاهش سختی٪ ۲۰) ۱۵۸	
شكل (۱۲-۴-ب) مقایسه توزیع نیروی دینامیکی سازه نامنظم با نیروی استاتیکی سازه قاب خمثی (کاهش سختی٪ ۴۰) ۱۵۹	
شكل (۱۲-۴-ج) مقایسه توزیع نیروی دینامیکی سازه نامنظم با نیروی استاتیکی سازه قاب خمثی (کاهش سختی٪ ۵۰) ۱۵۹	
شكل (۱۲-۴-ح) مقایسه توزیع نیروی دینامیکی سازه نامنظم با نیروی استاتیکی سازه قاب خمثی (کاهش سختی٪ ۷۰) ۱۶۰	
شكل (۱۳-۴-الف) نسبت اختلاف برش دینامیکی سازه نامنظم به برش استاتیکی سازه منظم (کاهش سختی٪ ۲۰) ۱۶۳	
شكل (۱۳-۴-ب) نسبت اختلاف برش دینامیکی سازه نامنظم به برش استاتیکی سازه منظم (کاهش سختی٪ ۴۰) ۱۶۴	
شكل (۱۳-۴-ج) نسبت اختلاف برش دینامیکی سازه نامنظم به برش استاتیکی سازه منظم (کاهش سختی٪ ۵۰) ۱۶۴	
شكل (۱۳-۴-ح) نسبت اختلاف برش دینامیکی سازه نامنظم به برش استاتیکی سازه منظم (کاهش سختی٪ ۷۰) ۱۶۵	
شكل (۱۴-۴-الف) حداکثر بجاجایی استاتیکی قاب خمثی کاهش سختی ۱۷۱	
شكل (۱۴-۴-ب) حداکثر بجاجایی دینامیکی طیفی قاب خمثی کاهش سختی ۱۷۲	

فهرست جداول

عنوان	صفحة
فصل اول	
جدول (۱-۱) مقایسه ضوابط تحلیل ۲۱	
فصل سوم	
جدول (۱-۳-الف) نسبت اختلاف نیروی طبقات دینامیکی منظم به دینامیکی منظم قاب مهاربندی (افزایش جرم٪.۵۰) ۶۹	
جدول (۱-۳-ب) نسبت اختلاف نیروی طبقات دینامیکی منظم به دینامیکی منظم قاب مهاربندی (افزایش جرم٪.۱۰۰) ۶۹	
جدول (۱-۳-ج) نسبت اختلاف نیروی طبقات دینامیکی منظم به دینامیکی منظم قاب مهاربندی (افزایش جرم٪.۲۰۰) ۷۰	
جدول (۲-۳) نسبت اختلاف نیرو در توزیع استاتیکی و دینامیکی برای مهاربندی منظم بدون افزایش جرم ۷۳	
جدول (۳-۳-الف) نسبت اختلاف نیروی دینامیکی نامنظم به نیروی استاتیکی منظم مهاربندی (افزایش جرم٪.۵۰) ۷۶	
جدول (۳-۳-ب) نسبت اختلاف نیروی دینامیکی نامنظم به نیروی استاتیکی منظم مهاربندی (افزایش جرم٪.۱۰۰) ۷۶	
جدول (۳-۳-ج) نسبت اختلاف نیروی دینامیکی نامنظم به نیروی استاتیکی منظم مهاربندی (افزایش جرم٪.۲۰۰) ۷۷	
جدول (۴-۳) نسبت اختلاف برش طبقات روش دینامیکی طیفی واستاتیکی سازه مهاربندی ۸۲	
جدول (۵-۳-الف) نسبت اختلاف برش های دینامیکی و استاتیکی در مدل های نامنظم مهاربندی (افزایش جرم٪.۵۰) ۸۵	
جدول (۵-۳-ب) نسبت اختلاف برش های دینامیکی و استاتیکی در مدل های نامنظم مهاربندی (افزایش جرم٪.۱۰۰) ۸۵	
جدول (۵-۳-ج) نسبت اختلاف برش های دینامیکی و استاتیکی در مدل های نامنظم مهاربندی (افزایش جرم٪.۲۰۰) ۸۶	
جدول (۶-۳-الف) تغییر مکان نسبی استاتیکی مدل های نامنظم مهاربندی (افزایش جرم٪.۵۰) ۹۱	

فهرست جداول

عنوان	صفحة
جدول (۳-۶-ب) تغییر مکان نسبی استاتیکی مدلهای نامنظم مهاربندی (افزایش جرم %.100).....	۹۱
جدول (۳-۶-ج) تغییر مکان نسبی استاتیکی مدلهای نامنظم مهاربندی (افزایش جرم %.200).....	۹۲
جدول (۳-۷-الف) تغییر مکان نسبی دینامیکی در مدلهای نامنظم مهاربندی (افزایش جرم %.50).....	۹۲
جدول (۳-۷-ب) تغییر مکان نسبی دینامیکی در مدلهای نامنظم مهاربندی (افزایش جرم %.100).....	۹۳
جدول (۳-۷-ج) تغییر مکان نسبی دینامیکی در مدلهای نامنظم مهاربندی (افزایش جرم %.200).....	۹۳
جدول (۳-۸-الف) نسبت اختلاف برش دینامیکی سازه نامنظم با منظم دینامیکی قاب خمثی (افزایش جرم %.200).....	۱۰۲
جدول (۳-۸-ب) نسبت اختلاف برش دینامیکی سازه نامنظم با منظم استاتیکی قاب خمثی (افزایش جرم %.200).....	۱۰۳
جدول (۳-۹-الف) نسبت اختلاف برش نامنظم استاتیکی منظم سازه قاب خمثی (افزایش جرم %.50).....	۱۰۹
جدول (۳-۹-ب) نسبت اختلاف برش نامنظم استاتیکی منظم سازه قاب خمثی (افزایش جرم %.100).....	۱۱۰
جدول (۳-۹-ج) نسبت اختلاف برش نامنظم استاتیکی منظم سازه قاب خمثی (افزایش جرم %.200).....	۱۱۰
جدول (۳-۱۰-الف) تغییر مکان نسبی استاتیکی در نامنظمی جرم قاب خمثی (افزایش جرم %.50).....	۱۱۲
جدول (۳-۱۰-ب) تغییر مکان نسبی استاتیکی در نامنظمی جرم قاب خمثی (افزایش جرم %.100).....	۱۱۳
جدول (۳-۱۰-ج) تغییر مکان نسبی استاتیکی در نامنظمی جرم قاب خمثی (افزایش جرم %.200).....	۱۱۳